

写真計測によるフーナング下の砂層の内部変位

東北大学工学部 学生員○畠山 亨
東北大学工学部 正員 郷沢 栄司
東北大学工学部 佐々木 静男

1. はじめに

均一で密な砂地盤上の基礎の支持力、沈下量をモデル的に測定し、解析する研究は従来から数多くなされており、特にマーコーによる方法、ハーティゲン用いる方法がその手段としてよく知られている。本報告は、砂粒子の変位を写真撮影によって直接測定するという手法を用いて、支持力試験におけるフーナング下の砂層の内部変位を観察し、すべり線の形状、その発達性状とひずみひずみとの関連に関する考察を行なった結果を述べるものである。

2. 実験の概要

a. 実験装置

実験装置の概略を図1に示す。タンクは長さ70cm、幅、高さ30cmであり、側壁は透明ガラス製、その他は鋼鉄製である。変位測定の基準としたため、木製の枠に白糸で図の様に、フーナング付近は1cm、その他は2cmのメッシュを施したものを作成した。

b. 実験方法

幅4cm、長さ33cmの木製フーナング（剛性基礎と考える）の上にジャッキを乗せ、任意の荷重を作用させていき、その時の沈下量を測定して写真撮影をし、それを順次繰り返して実験後、写真計測を行ない、すべり線、ひずみひずみを測定する。

c. 試料物性

用いた試料は白石川産のもので、 $\gamma_s = 2.62$ 粒径 $2.0\text{ mm} \sim 0.84\text{ mm}$ 、 $e_{max} = 1.00$ 、 $e_{min} = 0.71$ である。本報告では、初期間隙比 $e_0 = 0.77$ 、初期相対密度 $D_r = 0.79$ のやや密詰めの状態で行なった実験の結果について考察をする。

3. 実験結果 及び考察

実験で得られた応力-沈下曲線を図2に示す。図の中のA,B,C,D,Eの間でそれぞれ、A-B；立ち上がり部 B-C；ひずみ硬化部 C-D；ひずみ硬化部 D-E；ピーク部に対応すると考え、写真計測を行なった。

a. すべり線の考察

写真計測により得られたすべり線を図3～6に示す。実線でひずみひずみの図の上に示してある。破線はRossaの主張するダイレクシング角、 $\beta = 22^\circ$ を用いて得られたものである。図3に示すように、この段階で概ね完全ではないがすべり線が形成されているのがわかる。太く書いてある箇所は明確なすべり線が観察できることを示している。これより、左側よりも右側の方が大きくなり、特に右側の曲線の部分が発達していることがわかる。また、いくつか同じ様な条件で実験をし、写真計測を行なった結果、ほとんどの場合、砂の詰め方、荷

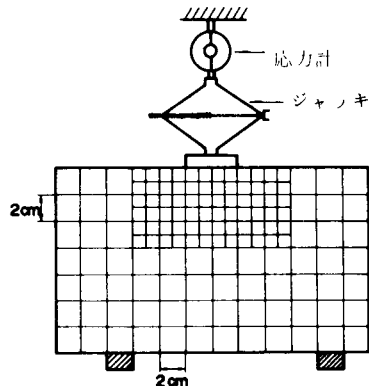


図1 実験装置

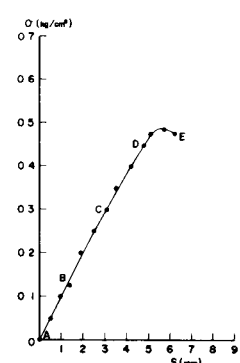


図2 応力-沈下曲線

重のかけ方による考え方か、左右同程度にすべり線が形成されることはない。本実験の様に一方特に発達しており、また フーチング下では図に示す様にめずらしくフーチング端部から発生するものではなかった。図4ではA-Bで形成されたすべり線が位置はほとんど変えず、そのまま発達していく。右側では表面まで形成されて一本の完全なすべり線が形成されている。図5ではさらに左側では伸びていて、右側では先に形成された曲線の部分の下側に新しいすべり線が形成されている。図6の荷重-沈下曲線のピーク部に対応するD-Eでは、左側のすべり線はもやは発達せず、図5で新しく形成されたすべり線が発達している。この様に、載荷直後にフーチング下で発生したすべり線は次第に成長していくが、一度形成された円弧の部分は左右ともに位置が変化しないことがわかる。また、最終的に形成されたすべり線は R. O. Cooke の理論より求められたすべり線にほぼ近い形をしていることがわかる。

b. セン断ひずみ分布の考察

フーチング下のセン断ひずみの発生機構はフーチング端部より発生し、連続的にすべり線に沿って分布を広げていく進行性破壊であるといふことが図3～5からわかる。また、図3～5まではすべり線付近以外でも大きなひずみが生じているが、図6のピーク部ではすべり線に沿った部分のみがひずみ6%以上となっているが、その他は比較的小さく剛体に近い動きをしていることがわかる。Prandtl の塑性平衡理論によると左右のすべり線の交錯する内側(図5の①)は下方へ剛体として働く領域であり、②の地域は塑性平衡状態にあり曲線はたがい線である。③の地域は変動圧により上方へ押し上げられ、剛体として作用するとされていく。完全にすべり線を形成した図5で、①の部分はひずみがほとんど小さく、②の部分では2～20%と部分的に降伏している所もあり、③の部分では6%以下であり、このことは理論をうづけけるものである。

4. おわりに

この実験により、特に次のことが考えられる。載荷に伴うすべり線は発達していくが、一度形成された円弧の部分はその位置を変えずに大きなすべりを生じさせる。従って、この最初に生じるかですべり線が決定されていき、セン断ひずみの発生に大きく影響を与えていく。

参考文献

K.H. Rose , R.F. Arthur . R.Jones (1963)

「The Determination of Strains in Soils by an X-Ray Method」 Civil Engineering July

図.3 ④-④

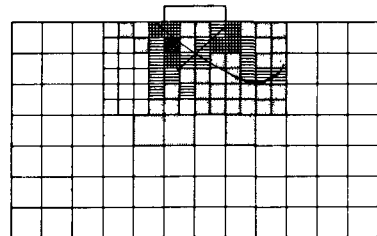


図.4 ④-④

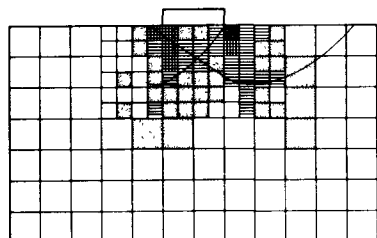


図.5 ④-④

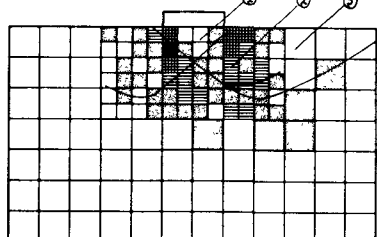


図.6 ④-④

